



## **ENVIRONMENTAL SCIENCE**

ISSN 0250-3301 CODEN HCKHDV HUANJING KEXUE

北京城区PM2.5各组分污染特征及来源分析 安欣欣,曹阳,王琴,富佳明,王陈婧,景宽,刘保献



## ENVIRONMENTAL SCIENCE

第43卷 第5期 2022年5月15日

### 目 次

, , , , , , , , , , , , , , , , , , ,	
北京城区 PM	251)
北京城区 PM <sub>2.5</sub> 各组分污染特征及来源分析 ····································	2231)
基丁时至混合效应模型的京津異 PM <sub>2.5</sub> 浓度受化模拟 泡丽行,杨晓辉,朱春杰,李梦诗,技继福,土上,李天星,李伟妙(2	2262)
2000~2018年京津冀城市群 PM <sub>2.5</sub> 时空演变及其与城市扩张的关联····································	2274)
海-陆大气交汇作用下青岛冬季大气 PM、污染特征与来源解析 ····································	
	284)
硫酸盐非均相机制对颗粒物污染的影响:上海典型污染事件的 WRF-Chem 模拟	204)
" 你放益非均相仇刑对,积恒初行案的影响: 上海典型行案事件的 WKF-Chem 侯权	
	2294)
大原市冬季不同污染程度下 PM 的化学组成 消光特征及氧化港热	317 )
$\Delta M_{\rm P}(r) \rightarrow r = 10^{1.5} {\rm Art}(Q) = 1$	220
$\Lambda$ が用いて子人 $\Gamma$	.329)
淄博市冬季 PM <sub>2.5</sub> 载带金属兀素污染特征、生态风险评价及来源分析 ····································	
省会城市不同功能区大气 PM2.5 化学组分季节变化及来源分析	2336)
承德市 PM、中多环芳烃的季节分布特征、来源解析及健康风险评价 ·······	
双埔文 县宴宴 李仪琳 朝索琛 极油 崖建升 瓜亚亚 工帅 侯晓松 (2	2/3 )
# Emp FM <sub>2.5</sub> 中多叶方层的学 17 和存证、不称解析及健康风险计划 贺博文,聂赛赛,李仪琳,郭睿瑶,姚波,崔建升,冯亚平,王帅,侯晓松(2 珠三角大气中二 <b>噻</b> 英污染水平与区域迁移	373)
环二用人气中一噻央行采外于马区项汇修	
·····································	2355)
华北平原南部农村地区黑碳气溶胶浓度及来源 张玲,孔少飞,郑煌,胡尧,曾昕,程溢,祁士华(2	2363)
其干模式计程分析技术天津地区 PM 污染气象成因分析 ·························· 郝囝 蒸子颖 韩麦芹 杨旭 樊文雁 姚青 邱晓定(?	2373)
其三排油量和十年后应活性的 VOC. 污渍面分级烧到	383 )
至1 III从里相八(X座们注时 VOG 17末断月次注册	2005)
基丁复采网络的中国吴氧拓扑特值	2395)
华北平原南部农村地区黑碳气溶胶浓度及来源 张为、北京、大水、大水、大水、大水、大水、大水、大水、大水、大水、大水、大水、大水、大水、	2403)
基于源反演和气溶胶同化方法天津空气质量模式预报能力改进 蔡子颖, 唐邈, 肖致美, 杨旭, 朱玉强, 韩素芹, 徐虹, 邱晓滨 (2	2415)
其干穴气质量贮测粉据的钢铁行业污洗源识别方法 石黎聪 胡克南 法肠帐 段善春 胡五禽 卧面娜 已验验(2	127
全上工 (灰里血肉双加印)的水门亚门木体区内// (在一个一个一个一个一个一个一个一个一个一个一个一个一个一个一个一个一个一个一个	1426)
里行架大气应对 绩效疗效、差异化官径 宿旭自伏头跋效米后评怕	(436)
黄河流域水污染风险分区	2448)
黄河流域甘肃段工业行业水污染物空间排放特征 李雪迎、杨曦、乔琦、刘丹丹、张玥、赵若楠、白璐(2	2459)
黄河沉积物重全属时空分布与污染评价	2467 )
ADCS MID 结合 DMP 精刑秘任居门木社派诉郑宏棣深和胁人民吏酒。 如它它 闰丘 工也要 相共化 思身语 剪加 未化处门	1176
ArUS-MLD 与自 FMF 快至肝机度门首怀得见邓矶吸机怃彻壶属不源 ··········· 儿辰寸,自运,「牺廷,明孙丘,崔廷尹,颇妍,奥丰州(2	4/0)
河流低泥 DOM、宫养盐与重金属空间分异特征及啊应关系 ··································· 肖艳春,寸会彬,宋永会(2	2489)
太原市汾河河岸带土壤重金属分布特征、评价与来源解析 胡杰,赵心语,王婷婷,苟奎贤,王春玲(2	2500)
世泽湖溶解杰有机质与重全属汞的结合特性····································	2510 Ĵ
宣告美化亚马下西宫地方任本史大多公宫化劫流。 如此结	510)
虽自分化驰列下四环侧口十不生态示机偶化机型	2318)
基于 DGT 技术的贞河上游典型水库孔积物氮磷释放与污染源解析	
基于前体物多情景排放的兰州市 2030 年夏季臭氧预测 陈天雷,吴敏,潘成珂,常莉敏,李泱,刘鹏,高宏,黄韬,马建民(2基于源反演和气溶胶同化方法天津空气质量模式预报能力改进	2527)
	- ' /
	- ' /
	- ' /
	- ' /
	- ' /
	- ' /
	- ' /
	- ' /
	- ' /
	- ' /
暴雨前后河南北部河流水质分异特征及其污染源解析 *** *** *** *** *** *** *** *** *** *	2537) 2548) 2557) 2566) 2575) 2586) 2595)
暴雨前后河南北部河流水质分异特征及其污染源解析 *** *** *** *** *** *** *** *** *** *	2537) 2548) 2557) 2566) 2575) 2586) 2595)
暴雨前后河南北部河流水质分异特征及其污染源解析 *** *** *** *** *** *** *** *** *** *	2537) 2548) 2557) 2566) 2575) 2586) 2595)
暴雨前后河南北部河流水质分异特征及其污染源解析 *** *** *** *** *** *** *** *** *** *	2537) 2548) 2557) 2566) 2575) 2586) 2595)
暴雨前后河南北部河流水质分异特征及其污染源解析 *** *** *** *** *** *** *** *** *** *	2537) 2548) 2557) 2566) 2575) 2586) 2595)
暴雨前后河南北部河流水质分异特征及其污染源解析                                     李文刚,吴希思,简敏非,刘淑丽,刘海球,丁惠君(2	2537) 2548) 2557) 2566) 2575) 2586) 2575) 2606)
暴雨前后河南北部河流水质分异特征及其污染源解析                                     李文刚,吴希思,简敏非,刘淑丽,刘海球,丁惠君(2	2537) 2548) 2557) 2566) 2575) 2586) 2575) 2606) 2614) 2624)
暴雨前后河南北部河流水质分异特征及其污染源解析                                     李文刚,吴希思,简敏非,刘淑丽,刘海球,丁惠君(2	2537) 2548) 2557) 2566) 2575) 2586) 2575) 2606) 2614) 2624)
暴雨前后河南北部河流水质分异特征及其污染源解析                                     李文刚,吴希思,简敏非,刘淑丽,刘海球,丁惠君(2	2537) 2548) 2557) 2566) 2575) 2586) 2575) 2606) 2614) 2624)
暴雨前后河南北部河流水质分异特征及其污染源解析 张彦, 邻磊, 梁志杰, 窦明, 李平, 黄仲冬, 齐学斌 (2番阳湖流域水葫芦(Eichhornia crassipes) 对水体微塑料的吸附截留效应 李文刚, 吴希思, 简敏菲, 刘淑丽, 刘海球, 丁惠君 (2太湖塑料添加剂时空分布和生态风险评价	2537) 2548) 2557) 2566) 2575) 2586) 2575) 2606) 2614) 2624) 2633) 2640) 2650) 2662) 2673)
暴雨前后河南北部河流水质分异特征及其污染源解析 张彦, 邻磊, 梁志杰, 窦明, 李平, 黄仲冬, 齐学斌 (2番阳湖流域水葫芦(Eichhornia crassipes) 对水体微塑料的吸附截留效应 李文刚, 吴希思, 简敏菲, 刘淑丽, 刘海球, 丁惠君 (2太湖塑料添加剂时空分布和生态风险评价	2537) 2548) 2557) 2566) 2575) 2586) 2575) 2606) 2614) 2624) 2633) 2640) 2650) 2662) 2673)
暴雨前后河南北部河流水质分异特征及其污染源解析 张彦, 邻磊, 梁志杰, 窦明, 李平, 黄仲冬, 齐学斌 (2番阳湖流域水葫芦(Eichhornia crassipes) 对水体微塑料的吸附截留效应 李文刚, 吴希思, 简敏菲, 刘淑丽, 刘海球, 丁惠君 (2太湖塑料添加剂时空分布和生态风险评价	2537) 2548) 2557) 2566) 2575) 2586) 2575) 2606) 2614) 2624) 2633) 2640) 2650) 2662) 2673)
暴雨前后河南北部河流水质分异特征及其污染源解析 张彦, 邻磊, 梁志杰, 窦明, 李平, 黄仲冬, 齐学斌 (2番阳湖流域水葫芦(Eichhornia crassipes) 对水体微塑料的吸附截留效应 李文刚, 吴希思, 简敏菲, 刘淑丽, 刘海球, 丁惠君 (2太湖塑料添加剂时空分布和生态风险评价	2537) 2548) 2557) 2566) 2575) 2586) 2575) 2606) 2614) 2624) 2633) 2640) 2650) 2662) 2673)
暴雨前后河南北部河流水质分异特征及其污染源解析 张彦, 邻磊, 梁志杰, 窦明, 李平, 黄仲冬, 齐学斌 (2番阳湖流域水葫芦(Eichhornia crassipes) 对水体微塑料的吸附截留效应 李文刚, 吴希思, 简敏菲, 刘淑丽, 刘海球, 丁惠君 (2太湖塑料添加剂时空分布和生态风险评价	2537) 2548) 2557) 2566) 2575) 2586) 2575) 2606) 2614) 2624) 2633) 2640) 2650) 2662) 2673)
暴雨前后河南北部河流水质分异特征及其污染源解析 张彦, 邻磊, 梁志杰, 窦明, 李平, 黄仲冬, 齐学斌 (2番阳湖流域水葫芦(Eichhornia crassipes) 对水体微塑料的吸附截留效应 李文刚, 吴希思, 简敏菲, 刘淑丽, 刘海球, 丁惠君 (2太湖塑料添加剂时空分布和生态风险评价	2537) 2548) 2557) 2566) 2575) 2586) 2575) 2606) 2614) 2624) 2633) 2640) 2650) 2662) 2673)
暴雨前后河南北部河流水质分异特征及其污染源解析 张彦, 邻磊, 梁志杰, 窦明, 李平, 黄仲冬, 齐学斌 (2番阳湖流域水葫芦(Eichhornia crassipes) 对水体微塑料的吸附截留效应 李文刚, 吴希思, 简敏菲, 刘淑丽, 刘海球, 丁惠君 (2太湖塑料添加剂时空分布和生态风险评价	2537) 2548) 2557) 2566) 2575) 2586) 2575) 2606) 2614) 2624) 2633) 2640) 2650) 2662) 2673)
暴雨前后河南北部河流水质分异特征及其污染源解析 张彦, 邻磊, 梁志杰, 窦明, 李平, 黄仲冬, 齐学斌 (2番阳湖流域水葫芦(Eichhornia crassipes) 对水体微塑料的吸附截留效应 李文刚, 吴希思, 简敏菲, 刘淑丽, 刘海球, 丁惠君 (2太湖塑料添加剂时空分布和生态风险评价	2537) 2548) 2557) 2566) 2575) 2586) 2575) 2606) 2614) 2624) 2633) 2640) 2650) 2662) 2673)
暴雨前后河南北部河流水质分异特征及其污染源解析 张彦, 邻磊, 梁志杰, 窦明, 李平, 黄仲冬, 齐学斌 (2番阳湖流域水葫芦(Eichhornia crassipes) 对水体微塑料的吸附截留效应 李文刚, 吴希思, 简敏菲, 刘淑丽, 刘海球, 丁惠君 (2太湖塑料添加剂时空分布和生态风险评价	2537) 2548) 2557) 2566) 2575) 2586) 2575) 2606) 2614) 2624) 2633) 2640) 2650) 2662) 2673)
暴雨前后河南北部河流水质分异特征及其污染源解析 张彦, 邻磊, 梁志杰, 窦明, 李平, 黄仲冬, 齐学斌 (2番阳湖流域水葫芦(Eichhornia crassipes) 对水体微塑料的吸附截留效应 李文刚, 吴希思, 简敏菲, 刘淑丽, 刘海球, 丁惠君 (2太湖塑料添加剂时空分布和生态风险评价	2537) 2548) 2557) 2566) 2575) 2586) 2575) 2606) 2614) 2624) 2633) 2640) 2650) 2662) 2673)
暴雨前后河南北部河流水质分异特征及其污染源解析 张彦, 邻磊, 梁志杰, 窦明, 李平, 黄仲冬, 齐学斌 (2番阳湖流域水葫芦(Eichhornia crassipes) 对水体微塑料的吸附截留效应 李文刚, 吴希思, 简敏菲, 刘淑丽, 刘海球, 丁惠君 (2太湖塑料添加剂时空分布和生态风险评价	2537) 2548) 2557) 2566) 2575) 2586) 2575) 2606) 2614) 2624) 2633) 2640) 2650) 2662) 2673)
暴雨前后河南北部河流水质分异特征及其污染源解析 张彦, 邻磊, 梁志杰, 窦明, 李平, 黄仲冬, 齐学斌 (2番阳湖流域水葫芦(Eichhornia crassipes) 对水体微塑料的吸附截留效应 李文刚, 吴希思, 简敏菲, 刘淑丽, 刘海球, 丁惠君 (2太湖塑料添加剂时空分布和生态风险评价	2537) 2548) 2557) 2566) 2575) 2586) 2575) 2606) 2614) 2624) 2633) 2640) 2650) 2662) 2673)
暴雨前后河南北部河流水质分异特征及其污染源解析 张彦, 邻磊, 梁志杰, 窦明, 李平, 黄仲冬, 齐学斌 (2番阳湖流域水葫芦(Eichhornia crassipes) 对水体微塑料的吸附截留效应 李文刚, 吴希思, 简敏菲, 刘淑丽, 刘海球, 丁惠君 (2太湖塑料添加剂时空分布和生态风险评价	2537) 2548) 2557) 2566) 2575) 2586) 2575) 2606) 2614) 2624) 2633) 2640) 2650) 2662) 2673)
暴雨前后河南北部河流水质分异特征及其污染源解析 张彦, 邻磊, 梁志杰, 窦明, 李平, 黄仲冬, 齐学斌 (2番阳湖流域水葫芦(Eichhornia crassipes) 对水体微塑料的吸附截留效应 李文刚, 吴希思, 简敏菲, 刘淑丽, 刘海球, 丁惠君 (2太湖塑料添加剂时空分布和生态风险评价	2537) 2548) 2557) 2566) 2575) 2586) 2575) 2606) 2614) 2624) 2633) 2640) 2650) 2662) 2673)
暴雨前后河南北部河流水质分异特征及其污染源解析 张彦, 邻磊, 梁志杰, 窦明, 李平, 黄仲冬, 齐学斌 (2番阳湖流域水葫芦(Eichhornia crassipes) 对水体微塑料的吸附截留效应 李文刚, 吴希思, 简敏菲, 刘淑丽, 刘海球, 丁惠君 (2太湖塑料添加剂时空分布和生态风险评价	2537) 2548) 2557) 2566) 2575) 2586) 2575) 2606) 2614) 2624) 2633) 2640) 2650) 2662) 2673)
暴雨前后河南北部河流水质分异特征及其污染源解析 张彦, 邻磊, 梁志杰, 窦明, 李平, 黄仲冬, 齐学斌 (2番阳湖流域水葫芦(Eichhornia crassipes) 对水体微塑料的吸附截留效应 李文刚, 吴希思, 简敏菲, 刘淑丽, 刘海球, 丁惠君 (2太湖塑料添加剂时空分布和生态风险评价	2537) 2548) 2557) 2566) 2575) 2586) 2575) 2606) 2614) 2624) 2633) 2640) 2650) 2662) 2673)
暴雨前后河南北部河流水质分异特征及其污染源解析	2537) 2548) 2557) 2566) 2575) 2586) 2575) 2606) 2614) 2624) 2633) 2640) 2650) 2662) 2673)
暴雨前后河南北部河流水质分异特征及其污染源解析	2537) 2548) 2557) 2566) 2575) 2586) 2575) 2606) 2614) 2624) 2633) 2640) 2650) 2662) 2673) 2685) 2779) 2771) 27751) 27751) 27779) 27788)



## 紫色土旱坡地油菜/玉米轮作下氮流失的年际变化特征

徐曼1,高明1,余泺2,朱浩宇3,邓华1,王子芳1\*

(1. 西南大学资源环境学院,重庆 400715; 2. 重庆市璧山区防汛抗旱调度中心,重庆 402760; 3. 江苏省东海县农业农村局,东海 222300)

摘要:明确三峡库区紫色土旱坡地氮流失的年际变化特征,为库区的施肥管理措施和面源污染治理提供参考.依托中国科学院成都山地灾害与环境研究所三峡库区试验站,于2018~2020年连续3 a 设置不施肥(CK)、常规施肥(F)、优化施肥(OF)、化肥减量配施生物炭(BF)和化肥减量配施秸秆覆盖(SF)5种处理,研究紫色土旱坡地在油菜-玉米轮作模式下氮流失的年际变化特征.结果表明:①三峡库区紫色土旱坡地地表径流主要发生在5月和8月,壤中流主要发生在6~10月.2018~2020年降雨量逐年增加,各处理地表径流产流量逐年减少,壤中流产流量大致呈逐年增加的趋势,年尺度下,壤中流产流量和产流次数均高于地表径流.②2018~2020年每年各形态氮的最高流失浓度出现时间大概一致,地表径流全氮、铵态氮和硝态氮最高流失浓度分别出现在5、8~10和7月,壤中流各形态氮最高流失浓度分别出现在10、10和5~7月.③地表径流各形态氮流失通量呈逐年降低趋势,壤中流各形态氮流失通量大致逐年增加.④生物炭和秸秆还田第一年降低氮流失通量的效果较好,但后续两年还田反而加剧了氮素流失通量.因此,三峡库区紫色土旱坡地施肥时应考虑该区域具有降雨集中性的特点,在氮素流失风险期(5~10月)加强肥料管理,分时期有针对性地施肥,生物炭和秸秆还田的同时采取有效的拦截措施以控制养分流失和农业面源污染.

关键词:紫色土旱坡地;地表径流;壤中流;氮流失:生物炭;秸秆

中图分类号: X52 文献标识码: A 文章编号: 0250-3301(2022)05-2758-12 **DOI**: 10.13227/j. hjkx. 202107155

# Interannual Variation Characteristics of Nitrogen Loss Under Rapeseed/Maize Rotation in Purple Soil Sloping Field

XU Man<sup>1</sup>, GAO Ming<sup>1</sup>, YU Luo<sup>2</sup>, ZHU Hao-yu<sup>3</sup>, DENG Hua<sup>1</sup>, WANG Zi-fang<sup>1</sup>\*

(1. College of Resources and Environment, Southwest University, Chongqing 400715, China; 2. Flood Control and Drought Relief Dispatching Center, Bishan District, Chongqing City, Chongqing 402760, China; 3. Jiangsu Agriculture and Rural Bureau of Donghai County, Donghai 222300, China)

Abstract: The aim of this study was to clarify the inter-annual characteristics of nitrogen loss in a purple soil sloping field in the Three Gorges Reservoir area and to provide references for fertilization management measures and non-point source pollution control in the reservoir area. Relying on the Three Gorges Reservoir Experimental Station of the Chengdu Institute of Mountains and Disasters of the Chinese Academy of Sciences, the experimental treatments included no fertilization (CK), conventional fertilization (F), optimum fertilization (OF), reduced fertilizer with biochar (BF), and reduced fertilizer with straw (SF) for three consecutive years from 2018 to 2020 to study the interannual variation characteristics of nitrogen loss in the purple soil sloping field under the rape-maize rotation model. The results showed that: ① the surface runoff of the purple soil sloping field in the Three Gorges Reservoir area mainly occurred from May to August, and the subsurface flow mainly occurred from June to October. From 2018 to 2020, rainfall increased yearly, the surface runoff flow of each treatment decreased yearly, and the flow of abortion in the soil generally increased yearly. On the annual scale, the subsurface flow in the soil and the number of runoffs were higher than that of the surface runoff. ② From 2018 to 2020, the highest loss concentration of various forms of nitrogen appeared simultaneously. The highest loss concentration of total nitrogen, ammonium nitrogen, and nitrate nitrogen in surface runoff appeared in May, August to October, and July, respectively. The highest concentration of nitrogen loss of various forms of subsurface flow appeared in October, October, and May to July, respectively.

③ The loss flux of various forms of nitrogen in surface runoff showed a decreasing trend annually, and the loss of various forms of nitrogen in subsurface flow roughly increased annually. ④ Biochar and straw returned to the field were more effective in reducing the nitrogen loss flux in the first year; con

Key words: purple soil sloping field; overland flow; interflow; nitrogen loss; biochar; straw

三峡库区作为我国长江中上游的重要生态功能区,对整个长江流域的水环境安全和生态环境安全起着举足轻重的作用<sup>[1~3]</sup>.目前,三峡库区泥沙侵蚀和水环境形势严峻.据资料统计,三峡库区发生土壤侵蚀和水土流失的面积分别占库区总面积的88.0%和82.9%<sup>[4]</sup>,严重的土壤侵蚀是导致库区土壤发生退化的重要原因,而水土流失不仅导致土壤退化、土地生产力降低,还会阻塞河道、加剧洪涝

灾害和造成水体污染<sup>[5~7]</sup>. 紫色土旱坡地作为三峡 库区的主要耕地类型,具有土层薄、结构松散、易

收稿日期: 2021-07-19; 修订日期: 2021-09-27

基金项目: 重庆 市 技 术 创 新 与 应 用 示 范 专 项 重 点 研 发 项 目 (cstc2018jscx-mszdX0061);国家重大水利工程建设基金 三峡后续工作科研项目(5001022019CF50001);国家重 点研发计划项目(2017YFD0800101)

作者简介: 徐曼(1999~), 女, 硕士研究生, 主要研究方向为土壤质量与环境, E-mail: 592854581@qq. com

\* 通信作者,E-mail:zifangw@126.com

风化和抗蚀性差等特点<sup>[8]</sup>,被认为是三峡库区泥沙侵蚀和面源污染的主要策源地,探究紫色土旱坡地在不同施肥处理下氮流失的年际变化特征对于科学精准施肥、控制土壤养分流失和防治库区面源污染具有重要意义.

近年来,由于农业生产中不当施肥造成的面源 污染等问题受到社会的广泛关注,其中多是氮肥的 不合理施用[9~11]. 氮素既是农田肥力的主要限制因 子,同时也是重要的环境污染来源[12].农田中盈余 的氮素通过径流、淋溶、氨挥发和反硝化等途径损 失,其中径流是农田氮素流失的主要途径,引发地下 水污染和水体富营养化等一系列水环境问题[13~15]. 有研究表明,农田氮素流失量与施肥量存在密切联 系,每公顷土壤增施1kg 氮素,径流中通过冲刷作 用流失的氮素将增加 0.56~0.72 kg<sup>[16]</sup>. 有机无机 肥配施已被证实在减少土壤侵蚀、控制养分流失和 节肥增效方面具有良好的应用效果[17,18]. 通过对生 物炭和秸秆在土壤改良以及土壤养分元素循环机制 的探索,人们发现生物炭和秸秆在降低土壤氮素流 失风险方面具有一定的潜力[19,20]. Wang 等[21]的研 究发现,化肥减量配施秸秆可有效降低地表氮流失 量,但不同种类秸秆其还田效果存在差异. 斯林林 等[22] 通过田间试验,发现生物炭配施控释肥和稳定 性肥显著消减了氮素径流流失,有效降低区域稻田 氮素面源流失风险.

目前,在自然降雨-产流条件下,关于三峡库区紫色土旱坡地的氮素流失年际变化特征及其影响因素的研究较少,对库区土壤质量下降和面源污染等问题难以做出准确评价和治理.因此,本文通过田间小区定位试验,以三峡库区常见的"油菜-玉米"轮作模式,连续3 a设置不施肥(CK)、常规施肥(F)、优化施肥(OF)、化肥减量配施生物炭(BF)和化肥减量配施秸秆覆盖(SF)这5种处理,探究三峡库区紫色土旱坡地在不同年份连续施肥下氮素迁移的年际变化特征,旨在为改善库区农田土壤质量、降低农业面源污染风险和农业的可持续发展提供理论依据.

#### 1 材料与方法

#### 1.1 试验区概况

小区位于重庆市忠县石宝寨的中国科学院成都 山地灾害与环境研究所三峡库区水土保持与环境 研究试验站(108°10′E,30°22′N),地处三峡库区的腹心地带.该区域属亚热带东南季风区山地气候,雨量充沛,日照充足,年均温度 19.2°, 2018~2020年降雨量如图 1 所示, 2018~2019 和 2020年累计降雨量分别为 894.68~919.06 和 169.4~mm.

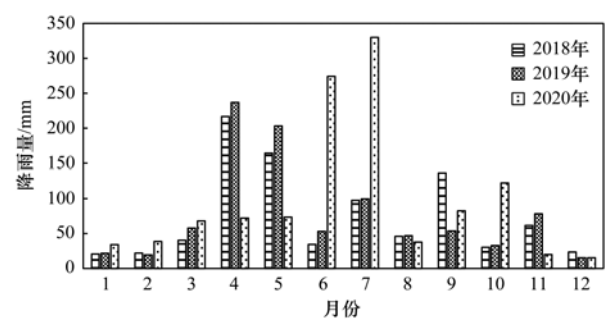


图 1 2018~2020年研究区降雨量

Fig. 1 Rainfall in the study area from 2018 to 2020

#### 1.2 试验设计

各试验小区是坡度为15°,投影面积为100 m2 (20 m×5 m)的长方形,底面以及四周均为混凝土 修筑. 在小区出水口设置汇流沟以收集壤中流和地 表径流,各小区外安装壤中流和地表径流的集水桶, 同时在集流桶旁添加分流桶以防降雨量过大径流溢 出,具体装置见图 2. 本试验共设置 5 个处理, 3 个 重复:①不施肥(CK)、②常规施肥(F)、③优化施 肥(OF)、④化肥减量配施生物炭(BF)和⑤化肥减 量配施秸秆覆盖(SF),其中优化施肥是当地农业部 门通过测土配方施肥技术提供的施肥方案. 生物炭 是由玉米秸秆在450~500℃下热解制得的, ω(TN) 为 5. 20 g·kg<sup>-1</sup>, ω(TP) 为 3. 10 g·kg<sup>-1</sup>; 玉米秸秆 购自试验小区周围农户,还田时将晒干的秸秆截成 10 cm 左右, ω(TN)为 8.23 g·kg<sup>-1</sup>, ω(TP)为 3.15 g·kg-1. 供试土壤是人工填装的未利用的新垦紫色 土,基本理化性质见表 1.

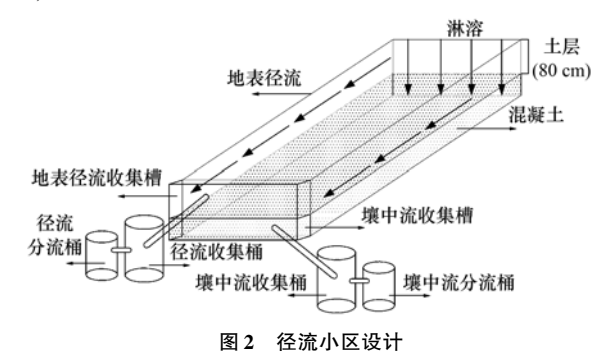


Fig. 2 Schematic diagram of runoff plot design

#### 表 1 供试土壤基本理化性质

Table 1 Basic physical and chemical properties of tested soil

项目	Ш				ω/mg⋅kg <sup>-1</sup>			
	pН	有机质	TN	TP	TK	AN	AP	AK
数值	8. 27	7 030	510	720	31 790	26. 45	8. 15	106. 99

本试验开展时间为 2017 年 10 月至 2020 年 10 月,连续 3 a 进行当地常见的"油菜-玉米两熟" 轮作模式,不同年份各试验小区下垫面情况基本一致.油菜季氮肥的施用情况为:分基肥和薹肥两次施用(基肥占 80%),磷肥、钾肥和硼肥作为基

肥一次性施人. 玉米季氮肥施用的情况与油菜一致,磷、钾肥作基肥一次性施人,肥料均是于谷雨前后撒施. 各处理每年的施肥方式和田间管理模式相同,具体的施肥、播种和收获时间见表 2,施肥量见表 3.

#### 表 2 各施肥处理的施肥、播种和收获时间

Table 2	Time of fertilization.	sowing and	harvest of	each	fertilization	treatment

作物	试验年份	生长日期(	(年-月-日)	施肥日期(年-月-日)		
11-10	<b>风短</b> 平衍	播种期	收获期	基肥施用期	追肥施用期	
	2018	2017-10-23	2018-04-29	2017-11-07	2017-12-05	
油菜	2019	2018-10-15	2019-04-30	2018-10-27	2018-11-20	
	2020	2019-11-01	2020-04-27	2019-11-06	2019-12-03	
	2018	2018-04-13	2018-07-20	2018-04-20	2018-04-27	
玉米	2019	2019-04-10	2019-08-02	2019-04-16	2019-05-03	
	2020	2020-04-09	2020-07-26	2020-04-24	2020-05-11	

#### 表3 各处理施肥量/kg·hm<sup>-2</sup>

Table 3 Amount of fertilizer applied in each treatment/kg·hm<sup>-2</sup>

项目         处理         N         P <sub>2</sub> O <sub>5</sub> K <sub>2</sub> O         硼砂         生物炭         精杆           CK         -         -         -         -         -         -         -           F         150         90         90         15         -         -         -           BF         102         63.75         63.75         15         10000         -           SF         102         63.75         63.75         15         -         4500           CK         -         -         -         -         -         -           F         300         150         135         -         -         -           EX季         0F         270         120         105         -         -         -           BF         229.5         102         89.25         -         10000         -           SF         229.5         102         89.25         -         -         4500				11		0		/ /// //
油菜季     F     150     90     90     15     —     —       BF     120     75     90     15     —     —       BF     102     63.75     63.75     15     10 000     —       SF     102     63.75     63.75     15     —     4 500       CK     —     —     —     —     —     —       F     300     150     135     —     —     —       玉米季     OF     270     120     105     —     —     —       BF     229.5     102     89.25     —     10 000     —	项目	处理	N	$P_2O_5$	$K_2O$	硼砂	生物炭	<b>秸秆</b>
油菜季     OF     120     75     90     15     —     —       BF     102     63.75     63.75     15     10 000     —       SF     102     63.75     63.75     15     —     4 500       CK     —     —     —     —     —       F     300     150     135     —     —     —       玉米季     OF     270     120     105     —     —     —       BF     229.5     102     89.25     —     10 000     —	•	CK	_	12	_	1 F 1	_	/=
BF     102     63.75     63.75     15     10 000     —       SF     102     63.75     63.75     15     —     4 500       CK     —     —     —     —     —       F     300     150     135     —     —     —       E**     OF     270     120     105     —     —     —       BF     229.5     102     89.25     —     10 000     —		F	150	90	90	15	\ -	(F)
SF     102     63.75     63.75     15     —     4500       CK     —     —     —     —     —       F     300     150     135     —     —     —       E米季     OF     270     120     105     —     —     —       BF     229.5     102     89.25     —     10 000     —	油菜季	OF	120	75	90	15	\ -	( <-///
CK     —     —     —     —       F     300     150     135     —     —     —       玉米季     OF     270     120     105     —     —     —       BF     229.5     102     89.25     —     10 000     —		BF	102	63. 75	63. 75	15	10 000	WE 8
F     300     150     135     —     —     —       玉米季     OF     270     120     105     —     —     —       BF     229.5     102     89.25     —     10000     —		SF	102	63.75	63. 75	15	/ pl -	4 500
玉米季 OF 270 120 105 — — — — — — BF 229.5 102 89.25 — 10 000 —	/ }	CK	- 10	1/1/1	_	4/8/8	<i>!</i> –	
BF 229.5 102 89.25 — 10 000 —	91	(4) (F	300	150	135	/ a + ) a	\ -	(=, /
	玉米季	OF	270	120	105	16 + 20	) -	A - 0 /
SF 229.5 102 89.25 — 4500		BF	229. 5	102	89. 25	(8) #	10 000	<u> </u>
	C- 8/1	SF	229. 5	102	89. 25	No 14	1 -	4 500

### 1.3 样品采集与分析方法

#### 1.3.1 水样采集

每次降雨结束后若有产流都要立即进行采样. 采样时,先分别测定各小区集水桶中的水位,以此计算各小区地表径流和壤中流的产流量.随后,用塑料瓶分别采集水桶中地表径流和壤中流的水样.采集水样时都要先将水样搅拌均匀,其中采集地表水样时在搅拌均匀后要迅速采集泥沙和水样混合样,而采集壤中流时在搅拌均匀后应让水体静置至悬浮物沉淀后再取水样.每次采样完成后,立即对各种形态氮养分含量进行测定.降雨量数据从试验站人工气象降雨观测平台获取,降雨观测仪器为虹吸式雨量计,实时记录降雨量及降雨过程等数据.

#### 1.3.2 土样采集

采用梅花形多点取样法在小区中随机采集表层 土(0~20 cm),四分法将土样进行混合后取约 1 kg 鲜土带回实验室,将土样去除杂物后自然风干、研磨、过筛,用于分析土壤的基本理化性质,其测定方法主要参照文献[23].

#### 1.4 测定指标与方法

水样测定指标包括总氮(TN)、溶解性总氮

(DTN)、铵态氮( $NH_4^+$ -N)和硝态氮( $NO_3^-$ -N),其中 TN 直接用未过滤水样测定; DTN、 $NH_4^+$ -N和 $NO_3^-$ -N 需将水样过 0.45  $\mu$ m 滤膜进行抽滤后测定. TN 采用碱性过硫酸钾消化-紫外分光光度法,DTN 采用碱性过硫酸钾消化-紫外分光光度法测定, $NH_4^+$ -N采用纳氏试剂比色法测定, $NO_3^-$ -N采用紫外分光光度法测定,颗粒态氮(PN) = 总氮(TN) - 溶解性总氮(DTN).

#### 1.5 数据处理

采用 SPSS 23.0 软件对数据进行统计分析,各处理间的差异显著性采用 LSD 法进行分析(P < 0.05);数据基础处理和作图分别采用 Excel 2016和 Origin 2018进行.

#### 2 结果与分析

- **2.1** 紫色土旱坡地不同施肥处理下径流量和侵蚀 产沙的年际变化特征
- **2.1.1** 紫色土旱坡地不同施肥处理下径流量的年际变化特征

如表 4 所示,各处理地表径流量均呈现出:2018年>2019年>2020年,其中CK、F、OF处理年际之

间差异显著. 另外,相较于其他处理,SF 处理显著降低了地表径流量. CK、F 处理壤中流径流量呈现出: 2020年 > 2018年 > 2019年,OF、BF 和 SF 处理壤中流径流量均是 2020年最高,2018年最低,与年降雨量变化趋势一致.

由图 3 可知, 2018~2020 年各处理地表径流产

流次数和产流量远低于壤中流,说明壤中流是紫色土旱坡地径流的主要输出途径.另外,各处理地表径流主要集中在5月和8月.观察2018~2020年壤中流产流特征发现,各处理壤中流主要集中在6~10月,2019和2020年壤中流产流次数远远超过2018年,且2019年壤中流产流次数最多,2018年最少.

表 4 2018~2020 年各处理径流量<sup>1)</sup>/L

Table 4 Runoff in each treatment from 2018 to 2020/L

处理	年份	地表径流	壤中流	总径流量
	2018	7 357. 46 ± 535. 00a	7340. 38 ± 642. 10b	14 697. 85 ± 1 177. 08a
CK	2019	$5520.69 \pm 264.01\mathrm{b}$	$6138.30\pm610.69\mathrm{b}$	$11658.98 \pm 346.83\mathrm{b}$
	2020	$1001.49\pm181.90\mathrm{c}$	15 288. 98 ± 1 786. 49a	$16\ 290.\ 47\pm 1\ 968.\ 23a$
	2018	5 066. 28 ± 247. 33a	11 047. 31 ±897. 99b	16 113. 59 ± 650. 71a
F	2019	$3831.39 \pm 167.13b$	$5039.71\pm271.15\mathrm{c}$	$8\ 871.\ 10 \pm 106.\ 67b$
	2020	$23.97 \pm 4.75c$	15 736. 52 ± 1847. 94a	$15760.49 \pm 1852.69a$
	2018	$5\ 532.\ 39\pm260.\ 32a$	8 971. 56 ± 780. 57b	14 503. 95 ± 520. 35b
OF	2019	$1.885.78 \pm 127.01$ b	11 775. 71 ± 1 290. 87b	13 661. 49 ± 1 417. 83b
	2020	$55.77 \pm 15.97 c$	23 946. 78 ± 2 213. 50a	$24\ 002.\ 55\pm2\ 198.\ 03a$
	2018	4 285. 91 ± 134. 55a	7 606. 83 ± 413. 13 c	11 892. 74 ± 278. 58c
$_{ m BF}$	2019	4 173. 94 ± 219. 31a	15 143. 63 ± 1 295. 38b	$19\ 317.\ 58 \pm 1\ 076.\ 82b$
	2020	$393.05 \pm 39.53$ b	28 668. 07 ± 1 670. 42a	29 061. 12 ± 1 631. 22a
	2018	1 455. 74 ± 147. 96a	11 323. 64 ± 900. 0c	12 779. 38 ± 1 047. 90 c
SF	2019	1 314. 47 $\pm$ 197. 46a	15 552. 19 ± 1 319. 03b	16 866. 66 ± 1 121. 57b
	2020	$191.73 \pm 38.68$ b	27 384. 25 ± 1 757. 00a	27 575. 98 ± 1 718. 32a

1)不同小写字母表示同一处理不同年份之间差异显著(P<0.05)

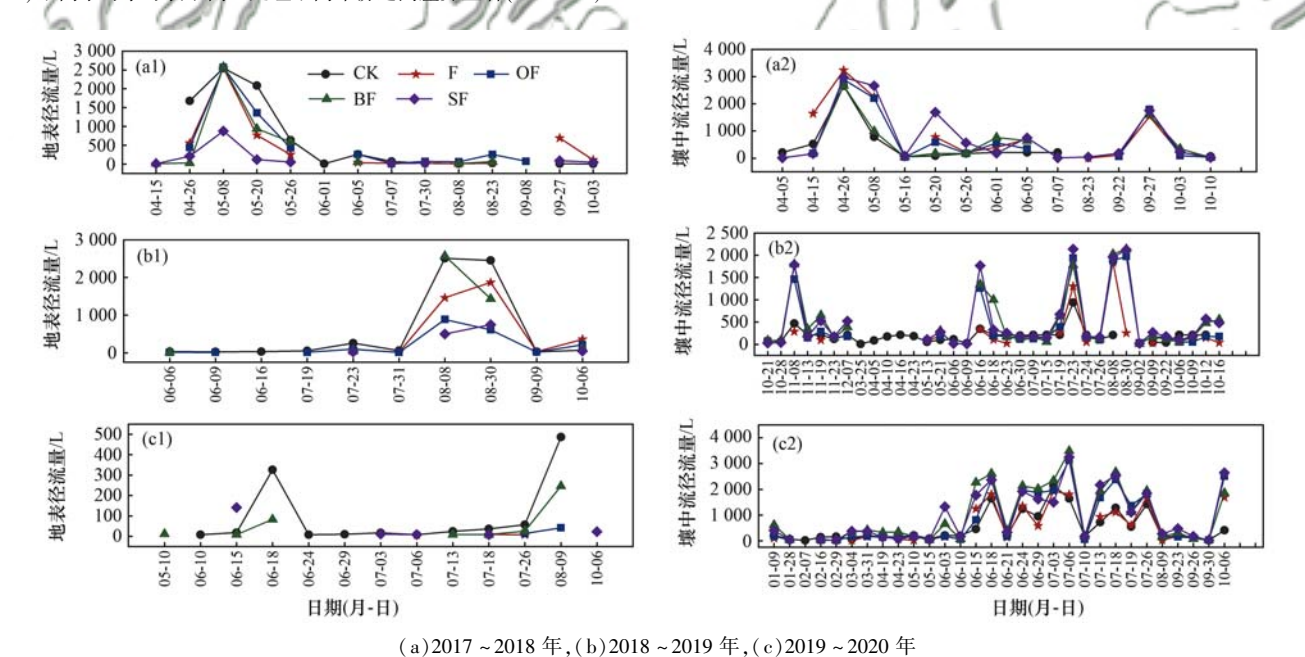


图 3 各处理地表径流量和壤中流径流量 Fig. 3 Surface runoff flux and subsurface runoff flux in each treatment

## **2.1.2** 紫色土旱坡地不同施肥处理下侵蚀产沙的 年际变化特征

从表 5 可以看出, F、BF和 SF处理产沙量呈现:2019年>2018年>2020年,且 BF处理每年的产沙量均高于 F和 SF处理. 2018~2020年各施肥处理总产沙量呈现出: CK > BF > F > OF > SF. 其中, SF处理产沙量低于其他处理,且存在显著差异性,

分别较 F 和 OF 处理降低了 65.54% 和 60.53%, 而 BF 处理分别较 F 和 OF 处理显著提高了 183.99% 和 252.25%.

#### 2.2 不同施肥处理颗粒态氮流失的年际变化特征

由图 4 可知, 2018 年各处理颗粒态氮流失浓度以 4~5 月较高,与同年地表径流产流特征一致, 2019 年各处理颗粒态氮流失主要集中在下半年,

#### 表 5 不同施肥处理的产沙量 $^{1)}/kg$

	Table 5	Sediment	vield	from	different	fertilization	treatments/kg
--	---------	----------	-------	------	-----------	---------------	---------------

处理	2018年	2019年	2020年	总计
CK	139. 00 ± 13. 2a	15. 08 ± 1. 01b	21. 75 ± 1. 52b	170. 83 ± 10. 64A
F	$16.50 \pm 1.24$ b	$32.94 \pm 3.27a$	$2.91 \pm 0.87c$	$52.35 \pm 4.37B$
OF	$27.40 \pm 1.02a$	$12.79 \pm 1.34b$	$5.52 \pm 1.61c$	$45.71 \pm 3.16B$
BF	22. $20 \pm 2.51$ b	115. 67 ±9. 51a	$10.80 \pm 6.21$ b	$148.67 \pm 6.58 A$
SF	7. $15 \pm 0.92a$	$7.75 \pm 0.82a$	3. $14 \pm 0.84$ b	18. 04 ± 3. 81 C
			•	

1)不同大写字母表示不同处理之间差异显著,不同小写字母表示同一处理下不同年份之间差异显著(P<0.05)

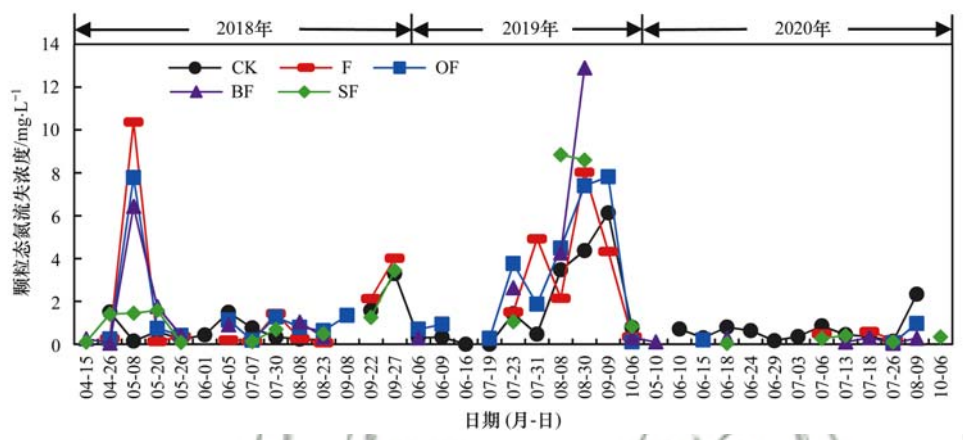


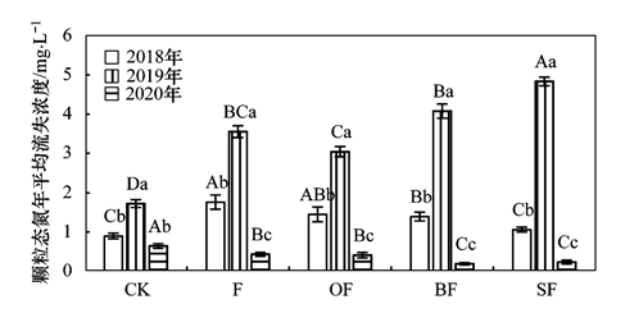
图 4 各处理颗粒态氮流失浓度变化

Fig. 4 Changes in the loss concentration of particulate nitrogen in each treatment

2020 年各处理颗粒态氮流失浓度整体处于较低水平.分析颗粒态氮流失浓度的年际变化发现(图 5),各处理均呈现出:2019 年 > 2018 年 > 2020 年,除CK 外,其余处理颗粒态氮流失浓度年度之间均存在明显差异.

#### 2.3 不同施肥处理全氮流失的年际变化特征

从图 6(a)可以看出,各处理在试验期内地表径流全氮流失主要集中在每年的 4~5 月和 8~9 月,这与地表径流产流特征基本一致.比较 3 年的地表径流全氮流失浓度特征发现,各处理在 2018、2019和 2020年最高流失浓度分别出现在 5、8 和 6~7月.相较于 2018年和 2019年,各处理 2020年地表径流全氮流失浓度较低.在图 6(b)中,各处理在



不同大写字母表示同一年份不同处理之间差异显著(P < 0.05),不同小写字母表示同一处理下不同年份之间差异显著(P < 0.05)

#### 图 5 各处理颗粒态氮流失浓度年均变化

Fig. 5 Annual average changes in the loss concentration of particulate nitrogen in each treatment

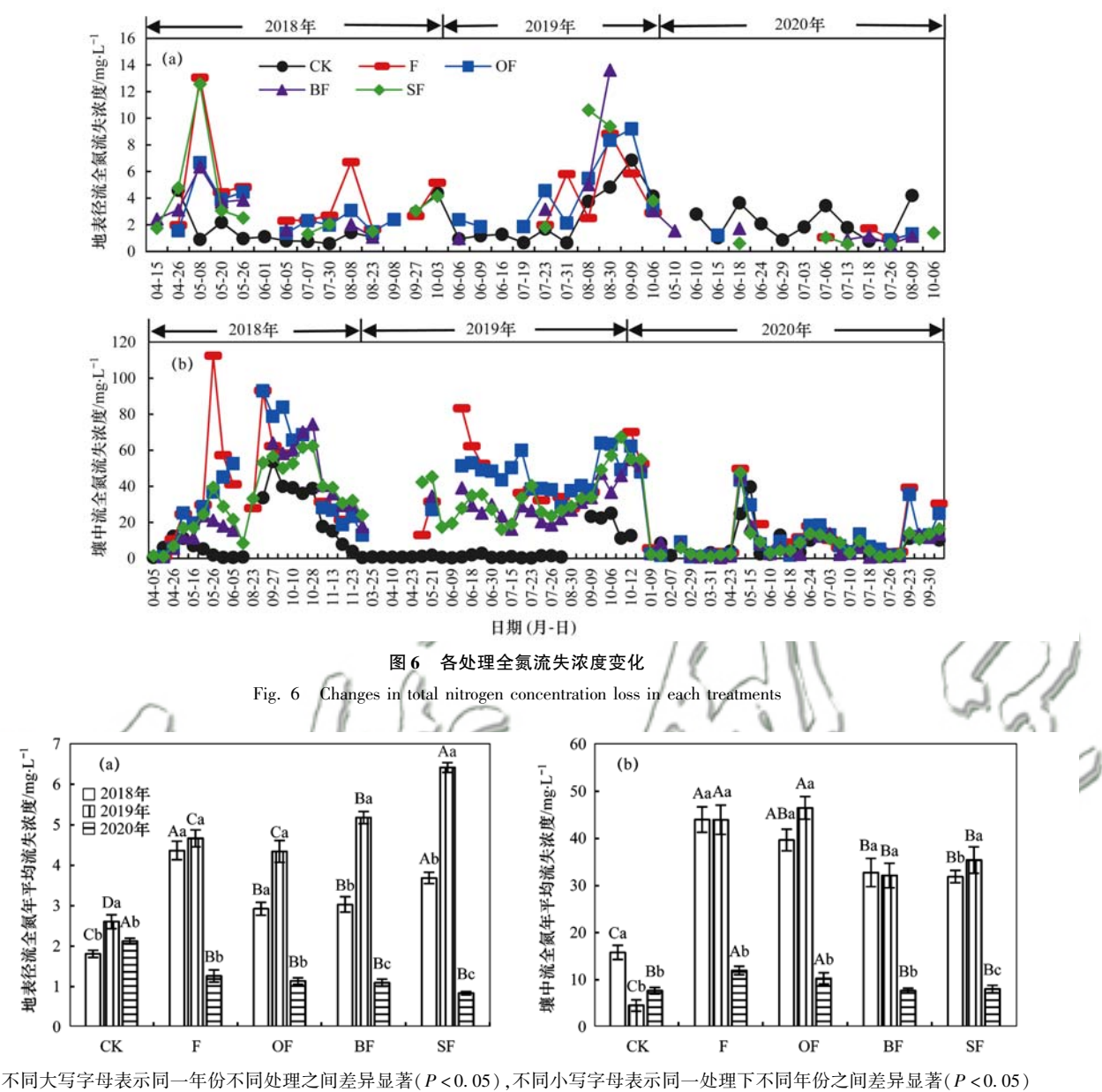
2018、2019 和 2020 年壤中流全氮最高流失浓度分别出现在 10、10 和 5 月. 另外, 2020 年各处理的全氮流失浓度峰值均小于其他年份峰值. 在图 7(a)中,除 CK 外,其余处理地表径流全氮流失的年际变化均是: 2019 年 > 2018 年 > 2020 年,其中 BF 处理年际之间的全氮流失浓度存在显著差异, SF 处理年际之间的全氮流失浓度存在显著差异. 在图 7(b)中,F、OF、BF和 SF 处理壤中流全氮流失浓度均是2020 年最低.

#### 2.4 不同施肥处理铵态氮流失的年际变化特征

如图 8(a) 所示,各处理地表径流铵态氮流失浓度在 2018、2019 和 2020 年的峰值分别出现在 5、10 和 7 月. 在整个试验期,各处理壤中流铵态氮流失浓度均处于一个较低的水平,且集中在下半年.各处理壤中流铵态氮流失浓度在 2018、2019 和 2020 年的峰值分别大致出现在 10、10 和 7 月. 在图 9(a) 中, CK、F和 SF处理铵态氮年平均流失浓度呈现出: 2020 年 > 2018 年 > 2019 年,而 BF处理则呈现出: 2018 年 > 2020 年 > 2019 年,可 F 处理呈现: 2020 年 > 2018 年 > 2019 年,BF和 SF处理呈现: 2020 年 > 2019 年 > 2018 年 > 2018 年.

#### 2.5 不同施肥处理硝态氮流失的年际变化特征

在图 10(a)中,各处理地表径流硝态氮流失浓度呈现出逐年降低的趋势,2018~2020年每年的硝



个间入与于母表外间一平面不同处理之间差并並有(P<0.00),不同小与于母表外间一处理下不问平面之间差并並有(P<0.00 图 7 各处理全氮流失浓度年均变化

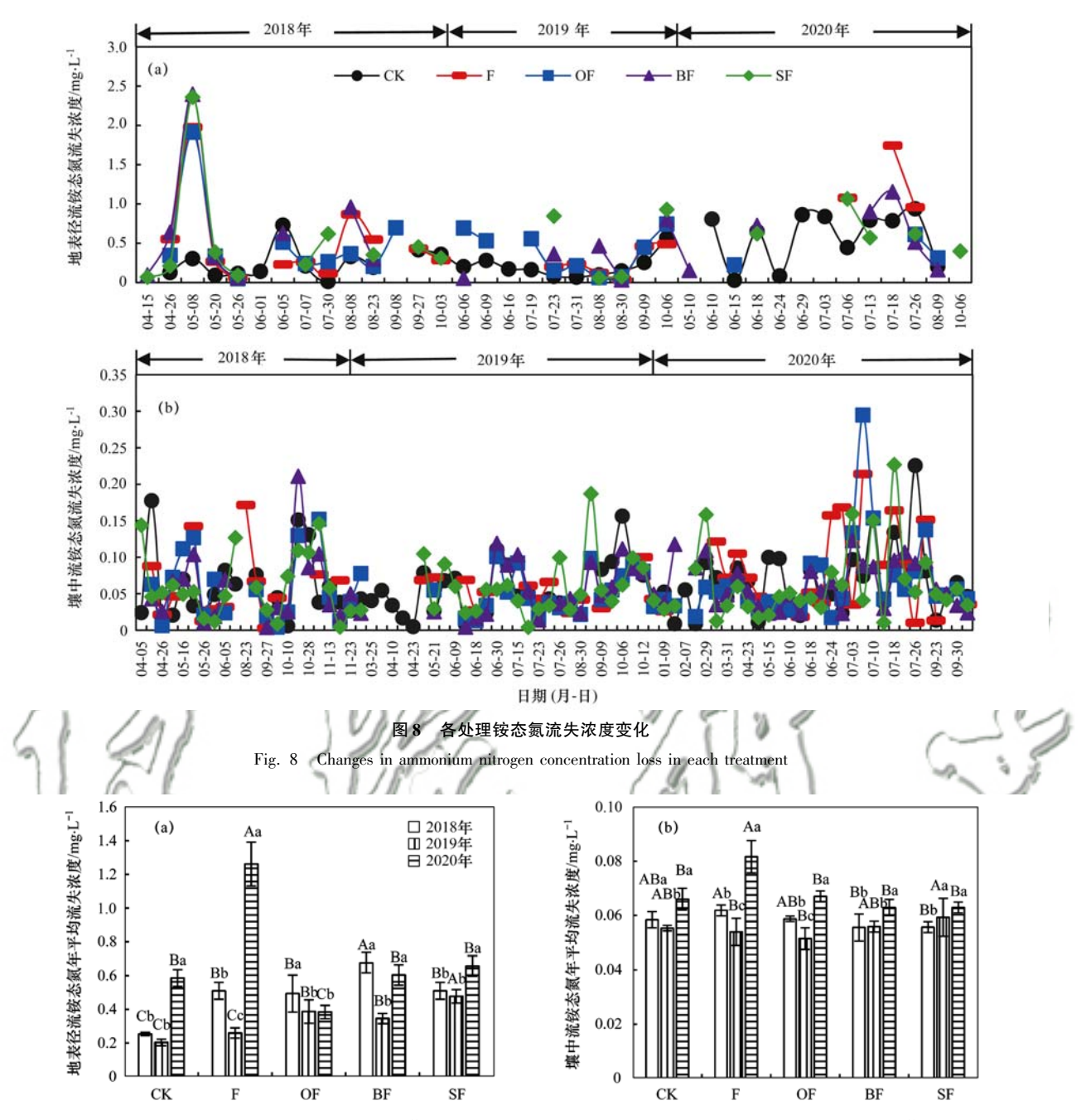
Fig. 7 Annual average changes in total nitrogen concentration loss in each treatments

态氮最高流失浓度分别大致出现在 5、9 和 7 月. 结合各处理壤中流产流特征可知(图 3), 2018 年各处理4~5 月产流量较高,同年 9~10 月壤中流硝态氮流失浓度较高,这两个时期均是壤中流硝态氮流失风险期. 2019 年 6~9 月是硝态氮流失风险期, 2020 年壤中流硝态氮流失浓度较低. 2018~2020年每年的壤中流硝态氮最高流失浓度分别出现在10、9 和 5 月. 在图 11(a)中,F、OF、BF和SF处理地表径流硝态氮年平均流失浓度均是 2018 年高于其他年份,其中F、OF和SF处理硝态氮年平均流失浓度呈现出: 2018 年 > 2019 年 > 2020年, BF处理呈现: 2018 年 > 2019 年 > 2020年,BF处理硝态氮年平均流失浓度发现,F、BF和SF处理硝态氮流失浓度年际变化为: 2018 年 > 2019年 > 2020

年,且 BF 和 SF 处理硝态氮流失浓度均低于 F 处理.

#### 2.6 不同施肥处理土壤氮流失通量

2018~2020年各处理氮流失通量如表 6 所示,就地表径流而言,不同处理地表径流中各形态氮流失通量大致呈现出逐年降低的趋势,F、OF、BF和SF处理全氮流失通量均是 2020年最低,铵态氮和硝态氮流失通量均呈现:2018年>2019年>2020年.对于壤中流各形态氮流失通量的年际变化,F处理全氮流失通量表现为:2018年>2019年>2020年,而BF和SF处理则为:2019年>2020年>2018年;除CK和F处理,其余处理壤中流铵态氮流失通量年际变化为:2020年>2019年>2018年,与地表径流铵



不同大写字母表示同一年份不同处理之间差异显著(P < 0.05),不同小写字母表示同一处理下不同年份之间差异显著(P < 0.05) 图 **8** 各处理铵态氮流失浓度年均变化

Fig. 9 Annual average changes in ammonium nitrogen concentration loss in each treatment

态氮流失规律相反. 另外, F处理壤中流硝态氮流 失通量特征与全氮年际变化一致, OF、BF和 SF 处理壤中流硝态氮流失通量特征呈现: 2019年 > 2020年 > 2018年.

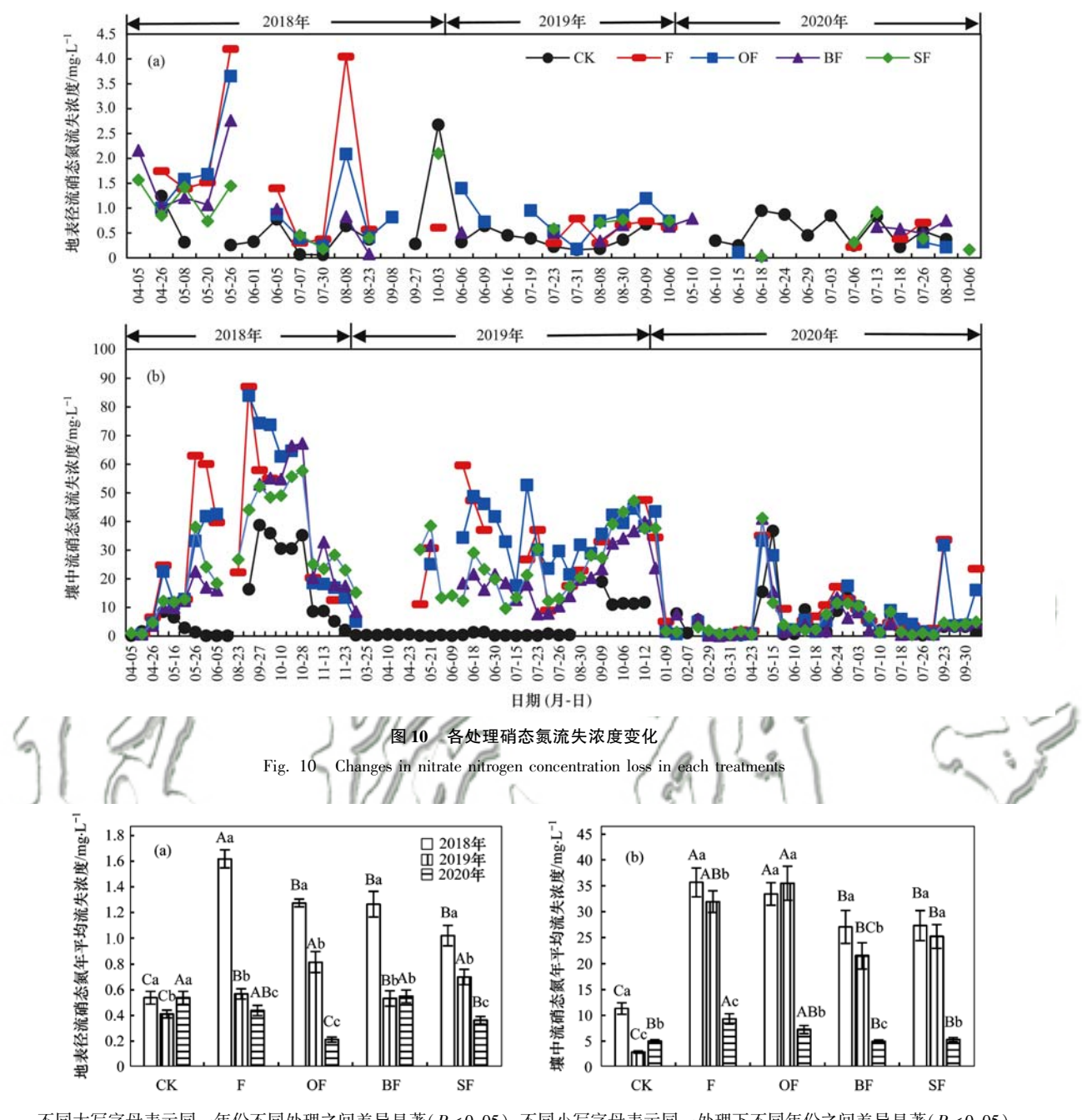
#### 2.7 氮流失与降雨量、径流量的相关关系

由表7可知,在地表径流中,降雨量与氮素流失量相关性并不显著,而径流量与各形态氮流失量呈显著正相关关系(P<0.05),其中全氮、颗粒态氮流失量与径流量呈极显著正相关关系(P<0.01).在壤中流中,降雨量和铵态氮流失量呈极显著正相关关系,径流量和全氮、铵态氮和硝态氮流失量呈

极显著正相关关系,全氮流失量与硝态氮流失量呈 极显著正相关关系.

#### 2.8 不同施肥处理对作物产量的影响

各处理油菜和玉米的平均产量如图 12 所示,与CK 处理相比,化肥减量配施生物炭或秸秆均能提高作物产量.各处理油菜产量呈现出:F>OF>BF>SF>CK,其中BF和SF处理与OF处理的差异并不显著.各处理玉米产量呈现出:OF>F>SF>BF>CK,除CK外,其余处理之间差异并不显著.总的看来,与常规施肥相比,化肥减量配施生物炭或秸秆能够保证作物产量.



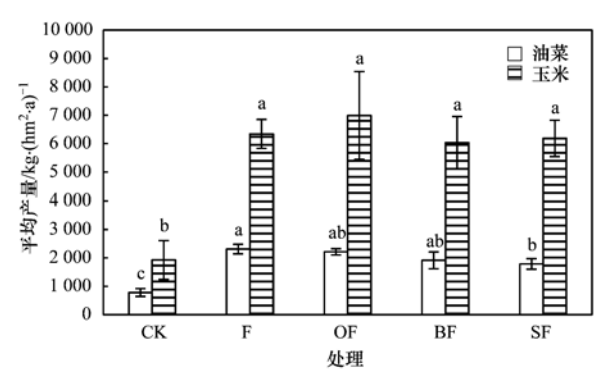
不同大写字母表示同一年份不同处理之间差异显著(P<0.05),不同小写字母表示同一处理下不同年份之间差异显著(P<0.05) **图 11 各处理硝态氮流失浓度年均变化** 

Fig. 11 Annual average changes in nitrate nitrogen concentration loss in each treatments

#### 3 讨论

紫色土旱坡地具有径流系数高、抗蚀性差等特点,易发生水土流失.本文发现,每年各处理壤中流产流次数和产流量均高于地表径流,说明壤中流是紫色土径流输出的主要形式.本研究中,2018年降雨量最低,2020年最高,比较地表径流产流量年际变化发现,试验期各处理地表径流产流量均呈现:2018年>2019年>2020年,与降雨量的年际变化规律相反,这可能是因为2018年降雨强度大,雨滴动能增加,土壤颗粒间的孔隙被逐渐填满<sup>[24]</sup>,土壤

表层容易形成结皮,阻止雨水入渗,大部分降雨以地表径流的方式输出.梁斐斐等<sup>[25]</sup>研究降雨强度对三峡库区坡耕地产流的影响发现,大雨产生的径流量分别是中雨和小雨的 2.34 和 7.59 倍.因此,在三峡库区应重点观测大雨条件下坡耕地的径流和养分流失状况.本研究表明,与 CK 相比,施肥处理均能降低地表径流量和产沙量,但增加了壤中流产流量,这与沈姣等<sup>[26]</sup>、汪涛等<sup>[27]</sup>等研究施肥对紫色土产流产沙的影响结果类似.分析其原因,一方面紫色土土层浅,孔隙度大,属于"岩土二元结构"<sup>[28]</sup>,容易形成壤中流.另一方面,地表植被的覆盖情况是影响土壤



不同小写字母表示不同处理之间差异显著(P<0.05)

#### 图 12 2018~2020 年各处理油菜和玉米平均产量

Fig. 12 Average yields of oilseed rape and maize in different treatments from 2018 to 2020

侵蚀的重要因素之一,其通过对降雨的再分配影响 径流发生<sup>[29]</sup>,平衡施肥能促进作物生长,提高植被 覆盖率,有效拦蓄地表径流<sup>[30]</sup>,同时施肥可改善土 壤物理性质和促进作物根系伸展,增强了水分入渗, 从而促进壤中流的发育和减少泥沙侵蚀.

土壤氮流失与降雨、地形、施肥和田间管理措施等因素密切相关<sup>[31,32]</sup>.本文发现,每年5~10月是氮素的流失风险期,氮素流失迁移变化规律与当地降雨特征有密切关系,紫色土区降雨集中,4~9月的降雨量占全年降雨量的70%以上,降雨径流是紫色土旱坡地养分流失的主要驱动力和载体,研究发现,氮流失量和降雨量在一般情况下呈线性关系,

表 6 2018~2020 年各处理氮流失通量1)/kg·(hm2·a)-1

Tabla 6	Mituo oron Lo	fl	under different	treatments from	2010 +	2020 /leas	(lam2 - a) -1

		Table 0	Nitrogen loss nuxe	s under amerem t	reatments from 201	10 to 2020/ kg · ( III	n -a)	
处理	年份		地表径流			壤中流		- DN
处垤	十加	TN	NH <sub>4</sub> -N	NO <sub>3</sub> -N	TN	NH <sub>4</sub> -N	NO <sub>3</sub> -N	18
	2018	1. $56 \pm 0.25$ b	0. $14 \pm 0.01 a$	$0.32 \pm 0.04a$	15. $76 \pm 2.05a$	$0.02 \pm 0.00$ b	$4.15 \pm 0.35$ b	$0.35 \pm 0.02b$
CK	2019	$2.25 \pm 0.24a$	$0.07 \pm 0.01 \mathrm{b}$	$0.\ 16\pm0.\ 02\mathrm{b}$	$3.46 \pm 0.24c$	$0.03 \pm 0.00$ b	2. 22 ± 0. 19c	$2.00 \pm 0.18a$
	2020	$0.34 \pm 0.02c$	$0.01\pm0.00\mathrm{c}$	$0.06\pm0.01\mathrm{c}$	12. 29 $\pm 0.86$ b	$0.25 \pm 0.02a$	$8.60 \pm 0.98a$	$0.15 \pm 0.02$ b
	2018	4. 04 ± 0. 79a	0. 59 ± 0. 01 a	0. 70 ± 0. 06a	30. 84 ± 5. 78a	$0.05 \pm 0.01$ b	18. 26 ± 1. 15a	$2.89 \pm 0.50a$
F	2019	2. $19 \pm 0.10$ b	$0.05 \pm 0.00 \mathrm{b}$	0. $20 \pm 0.01 \mathrm{b}$	19. 42 ± 2. 11b	$0.02 \pm 0.01 c$	14. 42 ± 1. 87b	1.83 $\pm$ 0.11b
	2020	$0.00 \pm 0.00c$	$0.00 \pm 0.00c$	$0.00 \pm 0.00c$	18. $74 \pm 1.93$ b	$0.28 \pm 0.02a$	14. 22 $\pm$ 0. 70b	$0.00\pm0.00\mathrm{c}$
	2018	$2.62 \pm 0.49a$	$0.58 \pm 0.01a$	$0.89 \pm 0.05 a$	29. 59 ± 3. 20b	$0.03 \pm 0.00b$	14. 27 ± 1. 21b	2. 17 ± 0. 14a
OF	2019	1. 13 ± 0. 10b	$0.03 \pm 0.00b$	$0.15 \pm 0.02b$	44. 25 ± 5. 08a	$0.05 \pm 0.00$ b	$33.30 \pm 3.99a$	$0.92 \pm 0.10b$
1	2020	$0.01 \pm 0.00c$	$0.00 \pm 0.00c$	$0.00\pm0.00\mathrm{c}$	25. 73 ± 2. 25b	$0.40 \pm 0.06a$	17. 30 $\pm$ 1. 91 b	$0.00 \pm 0.00c$
	2018	$2.27 \pm 0.29 \mathrm{b}$	0. 67 ± 0. 02a	$0.59 \pm 0.05a$	18. 33 ± 1. 82b	$0.02 \pm 0.00$ b	8. 04 ± 0. 55 c	1. $84 \pm 0.13$ b
BF	2019	3. 22 ± 0. 18a	$0.14 \pm 0.01 \mathrm{b}$	0. $19 \pm 0.02b$	48. 55 ± 5. 48a	$0.06 \pm 0.00$ b	29. 17 ± 2. 34a	$2.94 \pm 0.23a$
B	2020	$0.05 \pm 0.00c$	$0.\ 01\pm0.\ 00\mathrm{c}$	$0.02 \pm 0.00c$	$21.89 \pm 2.15b$	$0.62 \pm 0.05 a$	14. 49 $\pm$ 0. 88b	$0.~01~\pm0.~00\mathrm{c}$
	2018	1. $30 \pm 0.25a$	$0.22 \pm 0.01a$	$1.07 \pm 0.07a$	$18.54 \pm 3.92c$	$0.05 \pm 0.00$ b	$13.83 \pm 1.05 \mathrm{c}$	$0.20 \pm 0.01 \mathrm{b}$
SF	2019	$1.25 \pm 0.17a$	$0.01 \pm 0.00 \mathrm{b}$	0. 15 $\pm$ 0. 01 b	$54.39 \pm 4.54a$	$0.08 \pm 0.00\mathrm{b}$	$36.47 \pm 2.72a$	$1.08 \pm 0.10a$
\ \	2020	$0.01 \pm 0.00 \mathrm{b}$	$0.00 \pm 0.00 \mathrm{b}$	$0.00\pm0.00\mathrm{c}$	$26.30 \pm 2.56$ b	$0.48 \pm 0.02a$	19. $43 \pm 2.43$ b	$0.00\pm0.00\mathrm{c}$

<sup>1)</sup>不同小写字母表示同一处理不同年份之间差异显著(P<0.05)

表 7 氮流失与降雨量、径流量的相关系数

Table 7 Correlation of nitrogen loss, rainfall, and runoff

径流	项目	降雨量	径流量	全氮	铵态氮	硝态氮	颗粒态氮
	降雨量	1	0. 466	0.410	0. 354	0. 448	0.401
	径流量		1	0. 787 **	0. 568 *	0. 545 *	0. 676 **
地表径流	全氮			1	0. 689 **	0. 556 *	0. 948 **
地农生机	铵态氮				1	0. 771 **	0. 369
	硝态氮					1	0. 601 *
	颗粒态氮						1
	降雨量	1	0. 785 **	0. 194	0. 911 **	0. 099	
	径流量		1	0. 883 **	0. 910 **	0. 951 **	
壤中流	全氮			1	0. 087	0. 959 **	
	铵态氮				1	0. 014	
	硝态氮					1	

<sup>1)</sup>表中"\*"代表相关性达到显著水平(P<0.05),"\*\*"代表相关性达到极显著水平(P<0.01)

即土壤氮流失量随着降雨量的增加而增加<sup>[33]</sup>. 2018~2020年每年壤中流全氮最高流失浓度分别 出现在10、10和5月,壤中流硝态氮最高流失浓度 分别出现在10、10和7月,即每年壤中流全氮和硝 态氮最高流失浓度出现的时间大概相同,这与王宏等[34]的研究结果一致.在整个试验期,虽然 2020 年降雨量最高,但是同年各处理地表径流氮流失通量远小于前两年.分析其原因,这可能是因为 2020 年

降雨强度低、历时长,小雨强长历时的降雨更有利于促进壤中流的发育<sup>[35]</sup>,地表径流量减少.另外,较长的降雨历时和有效的作物植被覆盖可以调节地表径流吸持能力,延长产流历时过程,氮素更容易向土壤下层迁移.

在本文中,与 F 处理相比, 2019 年和 2020 年 BF 和 SF 处理均提高了壤中流中全氮和硝态氮流失 通量. 一方面,相较于 F 处理, 2019 年和 2020 年 BF 和 SF 处理虽然降低了壤中流全氮和硝态氮的年平 均流失浓度,但壤中流产流次数和产流量超过 F 处 理,增加了壤中流氮流失风险.另一方面,这可能是 因为本试验涉及3 a 生物炭还田和秸秆覆盖,生物 炭施入土壤后会逐渐发生老化,其在田间自然老化 过程中孔隙结构可被土壤矿质离子和微生物阻塞, 造成生物炭吸附能力下降[36,37],其吸附的氮可能会 随着生物炭性质的改变逐步被释放出来. 秸秆中的 氮素分为贮存性氮素和结构性氮素,其中结构性氮 素占比大,但不易被释放.土壤微生物在秸秆腐解过 程中起着关键作用,秸秆中的结构性氮素只有经微 生物矿化后才能逐步释放[38],一般是在秸秆的缓慢 分解期,其可达一年或更长时间.降雨通过影响土壤 微生物的生长繁殖和生理机能影响秸秆分解[39,40] 2018年降雨少且降雨强度大、历时短,不利于土壤 微生物繁殖,秸秆分解释放的氮素少,则氮流失量也 相对较少.

本研究表明,铵态氮主要以地表径流的方式流 失,硝态氮主要以壤中流的方式流失.这是因为铵态 氮带正电,易被土壤吸附在表层土壤,并在土壤表层 发生富集较难向下层土壤迁移,而硝态氮带负电,在 土壤中多以游离态的形式存在,极易通过土壤水分 的下渗作用进入壤中流[41]. 地表径流中全氮、铵态 氮和硝态氮流失通量大致呈逐年降低的趋势,这是 因为2018~2020年各处理地表径流产流量逐年减 少,进行相关性分析发现,地表径流与全氮、铵态氮 和硝态氮呈正相关关系. 在地表径流中, 氮流失量与 降雨量相关性并不显著,与径流量呈显著正相关关 系,这与闫建梅等[42]的研究结果一致,但与王双 等[43]的研究有一定差异,其研究发现氮流失量与降 雨量和径流量均有显著正相关性,这可能是因为本 文是3 a 连续降雨试验,而王双等的试验时间集中 于玉米成熟期,这期间降雨量大,氮流失通量受降雨 量的影响大. 本试验表明, 与 CK 相比, 生物炭处理 和秸秆处理均能提高作物产量. 与 F 处理相比, BF 和 SF 处理的作物产量稍低一些,但无显著性差异, 说明化肥配施生物炭或秸秆不会显著降低作物产 量,可以作为一种经济且环保的施肥措施进行推广,

以实现农业的可持续发展.

#### 4 结论

三峡库区紫色土旱坡地地表径流主要发生在5 月和8月,壤中流主要发生在6~10月.土壤氮素的 流失风险期为5~10月,该时段是库区的雨季,降雨 集中,容易产生径流造成土壤养分流失.试验期内每 年各形态氮的最高流失浓度出现时间大概一致,地 表径流全氮、铵态氮和硝态氮最高流失浓度分别出 现在5、8~10和7月,壤中流各形态氮最高流失浓 度分别出现在10、10和5~7月.生物炭和秸秆还 田第一年降低氮流失通量的效果较好,但后续两年 还田反而加剧了氮素流失通量. 因此,加强三峡库区 5~10月的施肥管理措施对于库区养分流失和农业 面源污染具有重要意义,在进行生物炭和秸秆还田 时考虑与其他保水保肥措施结合共同固持土壤养 分. 此外,建议利用其他先进技术预测当年该地区的 降雨量及降雨强度分布,针对性地进行施肥以有效 消减径流带来的农业面源污染.

#### 参考文献:

- [1] Zhang T, Ni J P, Xie D T. Assessment of the relationship between rural non-point source pollution and economic development in the Three Gorges Reservoir Area [J]. Environmental Science and Pollution Research, 2016, 23(8): 8125-8132.
- [2] 王娜, 楚鑫磊, 勾蒙蒙, 等. 三峡库区森林生态系统服务权衡与协同分析[J]. 生态环境学报, 2021, **30**(3): 475-484. Wang N, Chu X L, Gou M M, et al. Tradeoffs and synergies analysis on forest ecosystem services in the Three Gorges Reservoir Area[J]. Ecology and Environment Sciences, 2021, **30**(3): 475-484.
- [3] Gou M M, Li L, Ouyang S, et al. Identifying and analyzing ecosystem service bundles and their socioecological drivers in the Three Gorges Reservoir Area[J]. Journal of Cleaner Production, 2021, 307, doi: 10.1016/J. JCLEPRO. 2021.127208.
- [4] 余轶松,邓力.三峡库区水环境治理现状及对策[J].资源 节约与环保,2013,(9):98.
- [5] 王全九,杨婷,刘艳丽,等.土壤养分随地表径流流失机理与控制措施研究进展[J].农业机械学报,2016,47(6):67-82.
  - Wang Q J, Yang T, Liu Y L, *et al.* Review of soil nutrient transport in runoff and its controlling measures [J]. Transactions of the Chinese Society for Agricultural Machinery, 2016, 47(6): 67-82.
- [6] 田琳琳,任光前,朱波.紫色土丘陵区农田源头沟渠一氧化 氮排放的季节差异及影响因素[J].环境科学,2018,39 (4):1952-1961.
  - Tian L L, Ren G Q, Zhu B. Seasonal variation in nitric oxide emission from an agricultural headwater ditch in the hilly purple soil area and the factors influencing emission[J]. Environmental Science, 2018, 39(4): 1952-1961.
- [7] 李昌兰, 戴全厚, 彭旭东, 等. 喀斯特裸坡地地下孔(裂)隙 流养分流失特征研究[J]. 水土保持学报, 2016, **30**(3): 19-23, 114.

- Li C L, Dai Q H, Peng X D, et al. Characteristics of nutrient loss in runoff of underground pore fissure on the karst bare slope  $[\,J\,]$ . Journal of Soil and Water Conservation, 2016, 30(3): 19-23, 114.
- [8] 陈成龙,高明,木志坚,等.三峡库区小流域不同土地利用 类型"土壤-水体"氮磷含量特征及其相互关系[J].环境科 学,2017,38(8):3254-3263.
  - Chen C L, Gao M, Mu Z J, et al. Characteristics and the relationship of nitrogen and phosphorus in soil and water of different land use types of a small watershed in the Three Gorges Reservoir Area [J]. Environmental Science, 2017, 38 (8): 3254-3263.
- [9] 肖宇婷, 姚婧, 谌书, 等. 沱江流域总氮面源污染负荷时空演变[J]. 环境科学, 2021, **42**(8): 3773-3784.

  Xiao Y T, Yao J, Chen S, *et al.* Temporal and spatial evolution of non-point source pollution load of total nitrogen in Tuojiang river basin [J]. Environmental Science, 2021, **42**(8): 3773-3784
- [10] 房志达, 苏静君, 赵洪涛, 等. 红壤丘陵区小流域典型土地利用的面源氮磷输出特征[J]. 环境科学, 2021, **42**(11): 5394-5404.
  Fang Z D, Su J J, Zhao H T, *et al.* Output characteristics of
  - nitrogen and phosphorus from non-point source pollution of typical land use in a micro-watershed in hilly red soil region [J]. Environmental Science, 2021, 42(11): 5394-5404.
- [11] Hou P F, Jiang Y, Yan L, et al. Effect of fertilization on mitrogen losses through surface runoffs in Chinese farmlands; a meta-analysis [J]. Science of the Total Environment, 2021, 793, doi: 10.1016/j.scitotenv.2021.148554.
- [12] 高林林. 典型紫色土坡耕地不同施肥处理径流的氮素流失特征研究[D]. 南充: 西华师范大学, 2018.
  Gao L L. Study on nitrogen loss characteristics of runoff in typical
  - purple soil slope [D]. Nanchong: China West Normal University, 2018.
- [13] Huang T, Ju X T, Yang H. Nitrate leaching in a winter wheatsummer maize rotation on a calcareous soil as affected by nitrogen and straw management [J]. Scientific Reports, 2017, 7(1), doi: 10.1038/srep42247.
- [14] 姜海斌, 沈仕洲, 谷艳茹, 等. 洱海流域不同施肥模式对稻田氮磷径流流失的影响[J]. 农业环境科学学报, 2021, **40** (6): 1305-1313.
  - Jiang H B, Shen S Z, Gu Y R, et al. Effects of different fertilization treatments on runoff losses of nitrogen and phosphorus in paddy fields in Erhai Lake basin, China[J]. Journal of Agro-Environment Science, 2021, 40(6): 1305-1313.
- [15] Dai J, Wang Z H, Li M H, et al. Winter wheat grain yield and summer nitrate leaching: long-term effects of nitrogen and phosphorus rates on the Loess Plateau of China[J]. Field Crops Research, 2016, 196: 180-190.
- [16] 孙彭力,王慧君. 氮素化肥的环境污染[J]. 环境污染与防治,1995,17(1):38-41.
- [17] Prosdocimi M, Jordán A, Tarolli P, et al. The immediate effectiveness of barley straw mulch in reducing soil erodibility and surface runoff generation in Mediterranean vineyards[J]. Science of the Total Environment, 2016, 547; 323-330.
- [18] 盖霞普, 刘宏斌, 翟丽梅, 等. 长期增施有机肥/秸秆还田对 土壤氮素淋失风险的影响[J]. 中国农业科学, 2018, 51 (12): 2336-2347.
  - Gai X P, Liu H B, Zhai L M, et al. Effects of long-term additional application of organic manure or straw incorporation on soil nitrogen leaching risk [ J ]. Scientia Agricultura Sinica,

- 2018, **51**(12): 2336-2347.
- [19] Huang R, Gao X S, Wang F H, et al. Effects of biochar incorporation and fertilizations on nitrogen and phosphorus losses through surface and subsurface flows in a sloping farmland of Entisol [J]. Agriculture, Ecosystems & Environment, 2020, 300, doi: 10.1016/J. AGEE. 2020. 106988.
- [20] 张万锋,杨树青,孙多强,等. 秸秆覆盖与氦减施对土壤氦分布及地下水氦污染影响[J]. 环境科学,2021,42(2):786-795.
  - Zhang W F, Yang S Q, Sun D Q, et al. Effects of straw mulching and nitrogen reduction on the distribution of soil nitrogen and groundwater nitrogen pollution [J]. Environmental Science, 2021, 42(2): 786-795.
- [21] Wang J, Lü G A, Guo X S, et al. Conservation tillage and optimized fertilization reduce winter runoff losses of nitrogen and phosphorus from farmland in the Chaohu Lake region, China[J].

  Nutrient Cycling in Agroecosystems, 2015, 101(1): 93-106.
- [22] 斯林林, 周静杰, 吴良欢, 等. 生物炭配施缓控释肥对稻田田面水氮素动态变化及径流流失的影响[J]. 环境科学, 2018, **39**(12): 5383-5390. Si L L, Zhou J J, Wu L H, *et al.* Dynamics and runoff losses of
  - nitrogen in paddy field surface water under combined application of biochar and slow/controlled-release fertilizer [ J ]. Environmental Science, 2018, 39(12): 5383-5390.
- [23] 杨剑虹,王成林,代亨林.土壤农化分析与环境监测[M]. 北京:中国大地出版社,2008.
- [24] 张梦, 李冬杰, 周玥. 雨强和坡度对黄土坡面土壤侵蚀及氮磷流失的影响[J]. 水土保持学报, 2018, **32**(1): 85-90. Zhang M, Li D J, Zhou Y. Effects of rainfall intensity and slope gradient on soil erosion, nitrogen and potassium loss on loss slope[J]. Journal of Soil and Water Conservation, 2018, **32** (1): 85-90.
- [25] 梁斐斐, 蒋先军, 袁俊吉, 等. 降雨强度对三峡库区坡耕地 土壤氮、磷流失主要形态的影响[J]. 水土保持学报, 2012, **26**(4): 81-85.
  - Liang F F, Jiang X J, Yuan J J, et al. Main features of the loss of nitrogen and phosphorus and rainfall intensity influence in the slope farmland of the Three Gorges Reservoir Area[J]. Journal of Soil and Water Conservation, 2012, 26(4): 81-85.
- [26] 沈姣, 王小国, 马晗. 施肥对紫色土农田土壤有机碳损失过程的影响[J]. 中国生态农业学报(中英文), 2021, **29**(9): 1571-1581.
  - Shen J, Wang X G, Ma H. Effect of fertilizer application on soil carbon loss in purple soil [J]. Chinese Journal of Eco-Agriculture, 2021, 29(9): 1571-1581.
- [27] 汪涛, 朱波, 武永锋, 等. 不同施肥制度下紫色土坡耕地氮素流失特征[J]. 水土保持学报, 2005, **19**(5): 65-68. Wang T, Zhu B, Wu Y F, *et al.* Nitrogen loss from slope cropland of purple soil under different fertilization[J]. Journal of Soil and Water Conservation, 2005, **19**(5): 65-68.
- [28] 陈晓燕, 牛青霞, 周继, 等. 人工模拟降雨条件下紫色土陡坡地土壤颗粒分布空间变异特征[J]. 水土保持学报, 2010, **24**(5): 163-168.
  - Chen X Y, Niu Q X, Zhou J, et al. Study on spatial variability characters of steep purple soil particles under rainfall simulation condition [J]. Journal of Soil and Water Conservation, 2010, 24 (5): 163-168.
- [29] 冯小杰,郑子成,李廷轩,等. 暴雨条件下紫色土区玉米季 坡耕地氮素流失特征[J]. 中国农业科学,2018,51(4):738-749.
  - Feng X J, Zheng Z C, Li T X, et al. Characteristics of nitrogen

- loss in sloping cropland of purple soil during maize growth stage under rainstorm[J]. Scientia Agricultura Sinica, 2018, 51(4): 738-749.
- [30] 徐泰平,朱波,况福虹,等.平衡施肥对紫色土坡耕地磷素 径流流失的影响[J].农业环境科学学报,2006,25(4): 1055-1059.
  - Xu T P, Zhu B, Kuang F H, et al. Effects of balanced fertilization on phosphorus loss by runoff from slope cropland in purple soils[J]. Journal of Agro-Environment Science, 2006, 25 (4): 1055-1059.
- [31] 陈成龙,高明,倪九派,等.三峡库区小流域不同土地利用 类型对氮素流失影响[J].环境科学,2016,37(5):1707-1716.
  - Chen C L, Gao M, Ni J P, et al. Nitrogen losses under the action of different land use types of small catchment in Three Gorges Region [J]. Environmental Science, 2016, 37 (5): 1707-1716.
- [32] Wu L, Peng M L, Qiao S S, et al. Assessing impacts of rainfall intensity and slope on dissolved and adsorbed nitrogen loss under bare loessial soil by simulated rainfalls [J]. CATENA, 2018, 170: 51-63.
- [33] Liu Y, Tao Y, Wan K Y, et al. Runoff and nutrient losses in citrus orchards on sloping land subjected to different surface mulching practices in the Danjiangkou Reservoir area of China [J]. Agricultural Water Management, 2012, 110: 34-40.
- [34] 王宏,徐娅玲,张奇,等. 沱江流域典型农业小流域氮和磷排放特征[J]. 环境科学,2020,41(10):4547-4554. Wang H, Xu Y L, Zhang Q, et al. Emission characteristics of nitrogen and phosphorus in a typical agricultural small watershed in Tuojiang River Basin[J]. Environmental Science, 2020,41 (10):4547-4554.
- [35] Jia H Y, Lei A L, Lei J S, et al. Effects of hydrological processes on nitrogen loss in purple soil[J]. Agricultural Water Management, 2007, 89(1-2): 89-97.
- [36] Mukherjee A, Zimmerman A R, Hamdan R, et al. Physicochemical changes in pyrogenic organic matter (biochar) after 15 months of field aging [J]. Solid Earth, 2014, 5(2): 693-704.
- [37] De La Rosa J M, Rosado M, Paneque M, et al. Effects of aging

- under field conditions on biochar structure and composition; implications for biochar stability in soils[J]. Science of the Total Environment, 2018, 613-614; 969-976.
- [38] 张经廷,张丽华,吕丽华,等. 还田作物秸秆腐解及其养分释放特征概述[J]. 核农学报,2018,32(11):2274-2280.

  Zhang J T, Zhang L H, Lv L H, et al. Overview of the characteristics of crop straw decomposition and nutrients release of returned field crops [J]. Journal of Nuclear Agricultural Sciences, 2018, 32(11):2274-2280.
- [39] 董志新, 孙波, 殷士学, 等. 气候条件和作物对黑土和潮土 固氮微生物群落多样性的影响[J]. 土壤学报, 2012, **49** (1): 130-138.
  - Dong Z X, Sun B, Yin S X, et al. Impacts of climate and cropping on community diversity of diazotrophs in pachic udic argiboroll and fluventic ustochrept [J]. Acta Pedologica Sinica, 2012, 49(1): 130-138.
- [40] Castro H F, Classen A T, Austin E E, et al. Soil microbial community responses to multiple experimental climate change drivers[J]. Applied and Environmental Microbiology, 2010, 76 (4): 999-1007.
- [41] 李宪文, 史学正, Ritsema C. 四川紫色土区土壤养分径流和泥沙流失特征研究[J]. 资源科学, 2002, 24(6): 22-28. Li X W, Shi X Z, Ritsema C. Features of soil nutrient loss accompanied with runoff and sediment for the purple soil distributed area in Sichuan Province [J]. Resources Science, 2002, 24(6): 22-28.
- [42] 闫建梅, 何丙辉, 田太强. 不同施肥与耕作对紫色土坡耕地土壤侵蚀及氮素流失的影响[J]. 中国农业科学, 2014, 47 (20): 4027-4035.

  Yan J M, He B H, Tian T Q. Effect of fertilizer levels and tillage methods on soil erosion and nutrient loss in purple soil area [J].
- [43] 王双,叶良惠,郑子成,等.玉米成熟期黄壤坡耕地径流及 其氮素流失特征研究[J].水土保持学报,2018,32(6):28-23

Scientia Agricultura Sinica, 2014, 47(20): 4027-4035.

Wang S, Ye L H, Zheng Z C, et al. Characteristics of runoff and nitrogen losses in yellow soil sloping cropland at mature stage of maize[J]. Journal of Soil and Water Conservation, 2018, 32 (6): 28-33.

## **HUANJING KEXUE**

Environmental Science (monthly)

Vol. 43 No. 5 May 15, 2022

#### **CONTENTS**

COMEMB	
Chemical Characteristics and Source Apportionment of PM <sub>2,5</sub> in Urban Area of Beijing	· · · FAN Li-hang, YANG Xiao-hui, SONG Chun-jie, et al. (2262
Spatio-temporal Evolution Patterns of PM <sub>2.5</sub> and Relationship with Urban Expansion in Beijing-Tianjin-Hebei Urban Agglomeration fi	rom 2000 to 2018
Characteristics and Sames Ambaric of DM in Characteristics Winter Hadron the Action of See Load American Company	
Characteristics and Source Analysis of PM <sub>2.5</sub> in Qingdao in Winter Under the Action of Sea-Land-Atmosphere Convergence	
Source Apportionment and Seasonal Changes in PM <sub>2,5</sub> Chemical Components from Different Functional Areas of a Provincial Capital	
Chemical Compositions, Light Extinction Effect, and Oxidative Potential of PM <sub>2.5</sub> Under Different Pollution Levels During Winter in	n Taivuan
Source Apportionment and Health Risk Assessment of Metal Elements in Ambient PM <sub>2,5</sub> in the Winter of Zhengzhou	VAO Son, WANG Oien bong, VIE Ven, et al. (2320
Characteristics, Ecological Risk Assessment, and Sources of the Polluted Metallic Elements in PM <sub>2.5</sub> During Winter in Zibo City · · ·	
Seasonal Distribution Characteristics, Source Analysis, and Health Risk Evaluation of PAHs in PM <sub>2,5</sub> in Chengde	
Pollution Level and Regional Migration of PCDD/Fs in Ambient Air from Pearl River Delta, China	··· FU Jian-ping, XIE Dan-ping, HUANG Jin-qiong, et al. (2355
Concentrations and Sources of Black Carbon Aerosols in Rural Areas of Southern North China Plain	
Research on Causes of Severely Polluted Weather in Tianjin Based on Process Analytical Technology	HAO Jian, CAI Zi-ying, HAN Su-qin, et al. (2373
Classification Control of Volatile Organic Compounds (VOCs) Emission Pollution Sources Based on Emission Amounts and Atmosphe	eric Reactivity
	CHEN Peng, ZHANG Yue, XING Min, et al. (2383
Complex Networks Reveal the Characteristics of Ozone in China	
Ozone Simulation of Lanzhou City Based on Multi-scenario Emission Forecast of Ozone Precursors in the Summer of 2030	
mprovement of Environmental Model Prediction Based on Inversion and Aerosol Assimilation  Method of Identifying Air Pollution from Iron and Steel Industry Based on Ambient Air Quality Monitoring Data Analysis	
Assessment of "Differentiated Response Requirement Based on Performance Grading" Plolicy During Heavy Air Pollution Alert	
Risk Zoning of Water Pollution in the Yellow River Basin	
Emission Characteristics of Industrial Water Pollutants in Gansu Section of the Yellow River Basin	
Spatial-temporal Distribution and Pollution Assessment of Heavy Metals in Sediments of the Yellow River	
APCS-MLR Combined with PMF Model to Analyze the Source of Metals in Sediment of Xinglin Bay Suburban Watershed, Xiamen	
patial Differentiation Characteristics and Response Relationship of DOM, Nutrients, and Heavy Metals in River Sediments	
Distribution Characteristics, Evaluation, and Source Analysis of Heavy Metals in Soils of Fenhe Riparian Zone in Taiyuan City	
Sinding Affinity Between Heavy Metal Hg and Dissolved Organic Matter in Hongze Lake	
Cosystem Evolutionary Trajectory of Lake Xiliang over the Past Century Driven by Eutrophication	
sediment Release and Pollution Source Analysis of Typical Reservoirs in the Upper Reaches of the Yellow River Based on DGT Tech	nnology
No. and Changain and San Therefore a (Wire O. Frank D. B. Walle H. D. C. and Afra D. and	
Differential Characteristics and Source Identification of Water Quality of the Rivers in Northern Henan Before and After Rainstorm Adsorption and Interception Effects of Eichhornia crassipes on Microplastics in Water of the Poyang Lake Basin	
opatiotemporal Distribution and Ecological Risk Assessment of Plastic Additives in Taihu Lake	
Distribution Characteristics, Sources, and Storage of Microplastics in Surface Sediments of Luoma Lake	
Pollution Characteristics of Phosphorus in Different Media in Taihu Lake and Its Treatment Enlightenment	
Analysis on Diversity and Structure of Microbial Community in River Sediment of Siping Section of Liaohe River	
Non-point Source Pollution (NPSP) Induces Structural and Functional Variation in Bacterial Communities in Sediments of Jialing Ri	ver ······ XUE Yu-qin, XU Fei, LIU Kun-he, et al. (2595
Effects of Microplastics on Bacterial Community Composition and Diversity in Sediments	
Vertical Distribution Characteristics and Community Construction of Aerobic Denitrification Bacteria from the Sediments of Baiyangdi	an Lake During the Winter Freezing Period
7	ZHANG Tian-na, CHEN Zhao-ying, ZHANG Zi-wei, et al. (2014
Effect of Induced Mixing on Bacterial Community Structure and Metabolic Activity in Reservoir	
Distribution Characteristics of Microplastics in Bellamya aeruginosa in Typical Area of Poyang Lake  Clectrocatalytic Oxidation of Bisphenol A by Porous Ti/SnO <sub>2</sub> -Sb-Ni Electrode Loaded with Multi-wall Carbon Nanotubes	
Efficiency and Mechanism of Degradation of Methylene Blue with $H_2O_2$ Catalyzed by Magnetic $Mn_{0.6}Zn_{0.4}Fe_2O_4$ @ $SiO_2$	YII Dong-ving VII ling HAO Oi et al. (2650
Effect of Two Types of Nanoparticles on the Adsorption of Ciprofloxacin on Zeolite	IIANG Lan-cui MENG Zhao-fu LIII Xian <i>et al.</i> (2662
Adsorption Mechanisms and Effect Factors of As( V ) by AMD Sludge Composite Material	
Shifts in Microbial Community and Variation in Functional Genes for Nitrification and Denitrification in Activated Sludge Affected by	Triclosan and Its Transformed Intermediates
	·· LU Ying-yuan, DONG Xiao-qi, PENG Xing-xing, et al. (2685
Construction of Sustainability Evaluation Index System for Contaminated Site Risk Management and Analysis on Key Influential Factor	
Construction and Empirical Analysis of a Comprehensive Evaluation Method of Coastal Wetland Soil Quality Based on Ecological Fur	nctions
A 1 · IDD: A CH. Mall: E 1 letta 17 l Mr. A	ZHANG Xue, KONG Fan-long, JIANG Zhi-xiang (2709
Source Analysis and Pollution Assessment of Heavy Metals in Farmland Soil Around Tongshan Mining Area  Effects of Typical Iron and Manganese Minerals on Arsenic Speciation and Enzyme Activities in Paddy Soil	
Inects of Typical from and Manganese Minerals on Arsenic Speciation and Enzyme Activities in Faddy Soil  Phytoremediation Efficiency of Two Cultivars of Brassica napus L. Under Water-soluble Chitosan Treatment in Typical Pb-contaminat	
hytoremediation Emiciency of two Cumvais of <i>Diassica napus</i> E. Cinder water-soluble Chilosan Treatment in Typical To-contaminat	MENG Xiao-fei ZHENG Guo-di CHEN Tong-bin et al. (2741
Risk Prediction of Cadmium and Lead in Wheat Grains Based on Bayes Theorem	WANG Tian-qi, LI Yan-ling, YANG Yang, et al. (271)
nterannual Variation Characteristics of Nitrogen Loss Under Rapeseed/Maize Rotation in Purple Soil Sloping Field	
Physicochemical Properties of Biochars Prepared from Different Feedstocks and Evaluation of Its Potential as A Slow-release Carriers	for Biochar-based Fertilizers
	····· XING Li-bin, CHENG Jie, GENG Zeng-chao, et al. (2770
Effects of Combined Application of Wood Vinegar-Acidified Biochar and Nitrogen on Active Nitrogen and Ammonia Volatilization in	Saline Soil
Effects of Biodegradable Plastic Film Mulching on Greenhouse Gas Emissions Under Wheat-Maize Rotation System in the Guanzhong	Plain CHO V: time LHO V:: WANG D.:: 4-1 / 2700
Forest Soil Microbial Community Structure Characteristics and Its Influencing Factors at Different Elevations on the Southern Slope of	
orest soil micropial Community Structure Characteristics and its influencing ractors at Different Elevations on the Southern Stope of	······ HE Zhong-sheng WANG Zi-wei ZHII ling et al. (2802
Effects of Simulated Warming and Increased Precipitation on Soil Extracellular Enzyme Activity and Enzymatic Stoichiometry of Abar	ndoned Grassland
, , , , ,	····· WANG Xing, ZHONG Ze-kun, JIAN Jun-nan, et al. (2812
Contribution of Urbanization to Local Warming in Major Cities of China	····· LI Yu, ZHOU De-cheng, YAN Zhang-mei, et al. (2822